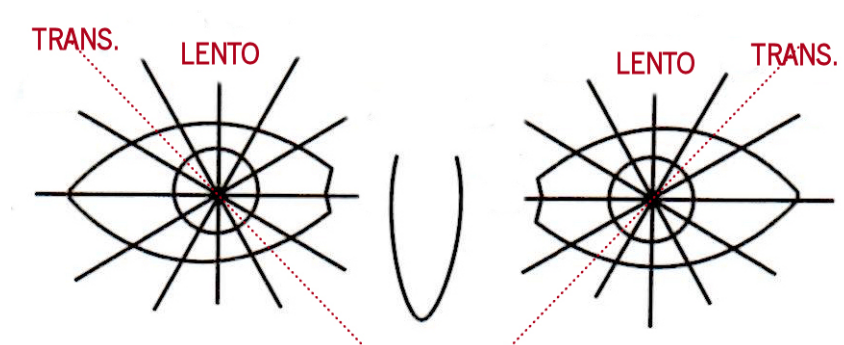


**Respostas breves. Justifique.**

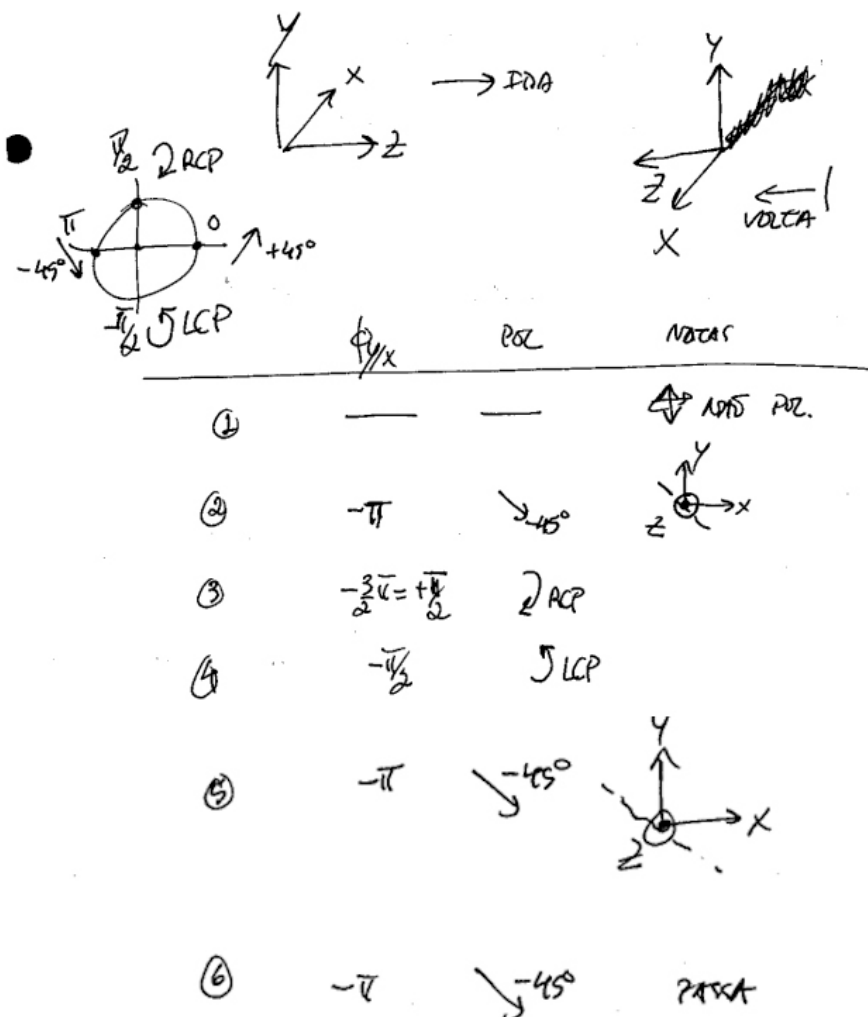
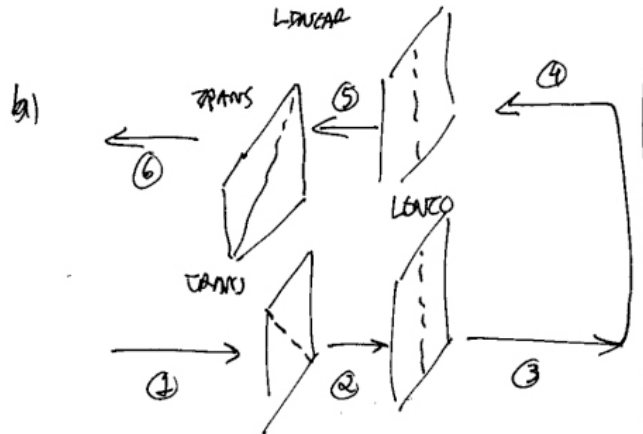
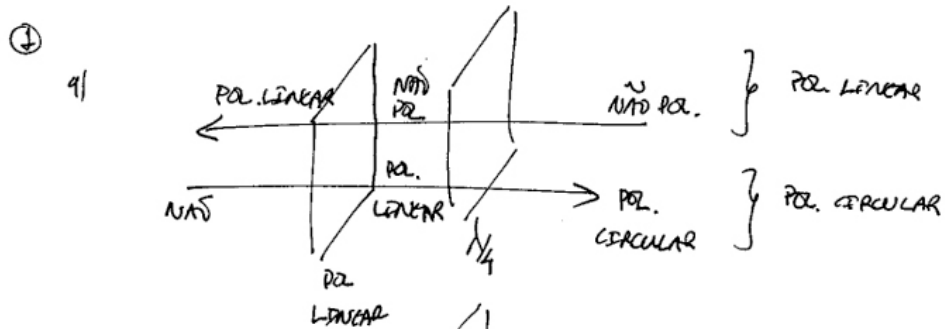
1. Motivação: óculos RealD passivos, para cinema 3D. Cada lente é formada por um polarizador linear (dentro) e uma lamina de quarto de onda (fora). Assuma que o *eixo lento* está na vertical e o *eixo de transmissão* está a  $\pm 45^\circ$  (figura; repare no nariz).

a) Luz não polarizada de uma lâmpada incandescente atravessa uma lente. Pode fazê-lo de *fora para dentro* (orientação normal dos óculos) ou de *dentro para fora* (óculos ao contrário). Diga o que acontece nos dois casos e qual a função desempenhada pela *lente*. (2 V)

b) Coloca os óculos à sua fente, em frente a um espelho. Luz não polarizada atravessa a lente direita, é refletida no espelho, regressa e atravessa agora a lente esquerda. Descreva a polarização da radiação sempre que houver alteração da polarização. (2.5 V)

**Soluções**

NOTA: Slides 14, 16, 124, 149, 209, 210, PDFs de Aulas T, Polarização.



**2.** O Quartz apresenta atividade ótica. Faz incidir radiação de 589 nm linearmente polarizada na vertical em Quartz, na direção do eixo ótico. Observa a  $90^\circ$ . Vê pontos alternadamente mais claros e mais escuros, com um espaçamento de 8.29 mm.

a) O que se passa ? (1 V)

b) Qual o poder rotatório específico ? (1 V)

### Soluções

**NOTA:** Fig. 9.27, pág. 611, Klein & Furtak, Optics, 2nd.Ed., Wiley, 1986 (livro adotado). Slide 136, PDFs de Aulas T, Polarização.

a) Rotação plano polarização & scattering.

b) Causa:  $\rho = \frac{\pi(n_L - n_R)}{\lambda}$ . Efeito:  $\pi = \rho d$ , com  $d = 8.29$  mm.  $\rho = 21.7^\circ/\text{mm}$ .

**3.** Uma objectiva fotográfica tem lentes com revestimento antireflexo. Considere uma lente de vidro de índice de refração 1.562. É coberta de um antireflexo de  $\text{MgF}_2$  ( $n = 1.38$ ), otimizado para 550 nm. Admita incidência normal.

a) Qual a espessura do antireflexo ? (1 V)

b) Considere apenas as duas primeiras reflexões. Qual a refletância ? (2 V)

c) Considere reflexões múltiplas. Qual a refletância ? (2.5 V)

d) Qual acha dever ser a melhor aproximação ao comportamento real, o resultado na alínea b) ou c) ? (0.5 V)

e) Descreva de forma qualitativa apenas quais as diferenças se tiver radiação de 400 nm. (1 V)

### Soluções

**NOTA:** Problema 42, pág. 333, Klein & Furtak, Optics, 2nd.Ed., Wiley, 1986 (livro adotado).

a) Filme antireflexo, com 2 reflexões externas (única causa de diferença de fase relativa é a diferença de percurso ótico). Incidência normal.  $\beta_2 = \frac{2\pi n_2 d_2}{\lambda_0} = \frac{\pi}{2} \Rightarrow d_2 = \frac{1}{4} \frac{\lambda_0}{n_2} = \frac{\lambda}{4}$ , espessura mínima  $\frac{\lambda}{4} = 99.6 \text{ nm} = 0.0996 \mu\text{m}$ .

b)  $\rho \equiv \frac{E''}{E} = \rho_{12} + \rho_{23} (\tau_{12}\tau_{21}) e^{-i2\beta} = \rho_{12} - \rho_{23} (\tau_{12}\tau_{21})$ , com  $e^{-i2\beta} = e^{-i\pi} = -1$ .  $R = |\rho|^2 = 0.99\%$ .

c) Foram abordadas 3 maneiras alternativas de resolver o problema: (1) métodos matriciais (vantagem: generalidade; desvantagem: requer maior abstração), (2) balanço direto (vantagem: intuição, mais fácil nos casos simples; desvantagem: perde para métodos matriciais, em casos realistas, porque a maquinaria da algebra linear é imbatível em problemas lineares), (3) soma direta das várias contribuições, resultando numa série (vantagem: intuição, mínima do processo físico; desvantagem: perde sempre para dois métodos anteriores). Esboço de solução, pelo método 2:

$$E_A = \tau_{12}E + \rho_{21}\rho_{23}e^{-i2\beta}E_A$$

$$E'' = \rho_{12}E + \tau_{21}\rho_{23}e^{-i2\beta}E_A$$

$$\rho \equiv \frac{E''}{E} = \frac{\rho_{12} + \rho_{23}e^{-i2\beta}}{1 + \rho_{12}\rho_{23}e^{-i2\beta}} = \frac{\rho_{12} - \rho_{23}}{1 - \rho_{12}\rho_{23}}$$

$$R = |\rho|^2$$

Os coeficientes de reflexão em amplitude calculam-se a partir de Fresnel, em incidência normal:

$$\begin{cases} \rho_{\parallel} = \frac{n' - n}{n' + n} \\ \rho_{\perp} = -\rho_{\parallel} \end{cases}$$

No final do dia, não importa o sinal em Poynting final.  $n_1 = 1.0$ ,  $n_2 = 1.38$ ,  $n_3 = 1.562$ ;  $\rho = 9.8777 \times 10^{-2}$ ,  $R = 0.98\%$ .

d) Múltiplas reflexões necessariamente melhor, porque mais realista. No entanto, não faz praticamente diferença. Porque as refletividades individuais em cada superfície são tão baixas que, na prática, as duas primeiras reflexões são determinantes (pode verificar isto calculando o peso relativo de cada reflexão; obviamente que isto não era pretendido no teste). Se for ver a um livro de texto o tratamento canônico de interferência de 2 feixes num filme dielétrico, o tratamento dá,  $R = \cos^2(\delta/2) = \cos^2 \beta$  ou  $R = \sin^2(\delta/2) = \sin^2 \beta$ . Nesse tratamento canônico, está implícito na dedução, que a amplitude dos 2 feixes que interferem é igual, obtendo-se interferência completamente destrutiva neste caso ( $R = 0$ ). Se o objetivo for interferometria, *contando franjas* (contexto em que é deduzida a *fórmula de interferência de 2 feixes*), não há prejuízo porque no caso da amplitude das duas reflexões não ser exactamente igual a interferência destrutiva não é completa, mas a *posição das franjas* não é alterada. Mas aqui, cujo objetivo é saber a refletância absoluta com antireflexo,  $R = \cos^2(\delta/2) = \cos^2 \beta$  ou  $R = \sin^2(\delta/2) = \sin^2 \beta$  não são aplicáveis (porque implicitamente assumem iguais amplitudes, na reflexão).

e) Pense: se tiver 400 nm, em vez de 550 nm, não vai a correr comprar uma objectiva com outra espessura de antireflexo. Aliás, a mesma objectiva tem de funcionar com radiação policromática cobrindo todo o visível. Portanto, a espessura é a mesma. Com espessura otimizada para 550 nm, a este comprimento de onda a diferença de fase é exactamente  $\pi$  (e a refletância só não é exactamente zero porque as amplitudes não são exactamente iguais; veja a discussão na pág. 320, Klein & Furtak, Optics, 2nd.Ed., Wiley, 1986 (livro adotado)). Para 400 nm, a diferença de fase vai ser diferente de  $\pi$ , a interferência deixa de ser totalmente destrutiva e a refletância global é maior. Mesmo assim é bastante menor que se não tiver antireflexo.

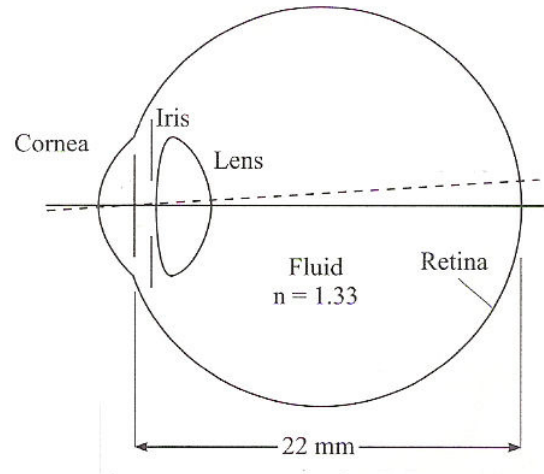
Pode ver isto a acontecer na prática, fazendo um miniprograma matlab que calcule a refletância em função do comprimento de onda, e fazendo os gráficos (ver Fig. 5.42, pág. 321, Klein & Furtak, Optics, 2nd.Ed., Wiley, 1986 (livro adotado)).

4. Motivação: qual o tamanho da Lua, na sua retina ?; qual o tamanho máximo das células receptoras na retina, para conseguir resolver o padrão de difração ?; há alguma vantagem evolutiva em ter células receptoras com resolução abaixo do limite de difração ?

Forma uma imagem da Lua na sua retina. É um objecto muito, muito distante. É de noite e a sua iris tem uma abertura de 8 mm (diâmetro). Considere o máximo da sensibilidade do olho (510 nm; visão noturna). Use um modelo muito simples, uma abertura (iris, 20 mm à frente da retina), num meio de índice de refração médio 1.33, e difração no modelo de Kirchhoff-Fraunhofer.

a) Qual o tamanho do padrão de difração (diâmetro do disco de Airy) ? (2.5 V)

b) Qual o ângulo correspondente ao disco de Airy (a traçado, na figura; o plano principal está a 22 mm da retina) ? (0.5 V)



### Soluções

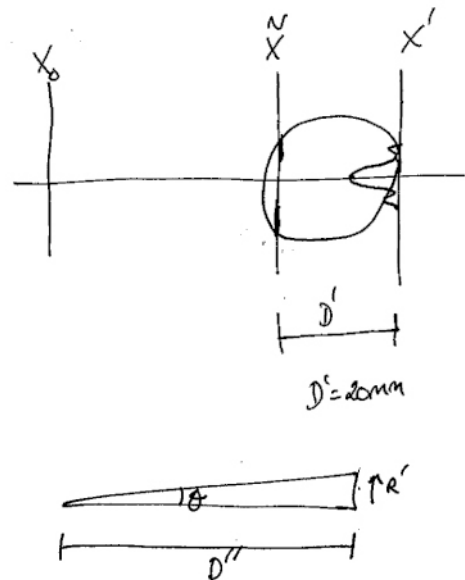
**NOTA:** Inspirado em problema 11, pág. 400, Klein & Furtak, Optics, 2nd.Ed., Wiley, 1986 (livro adotado).

a) Kirchhoff-Fraunhofer, na notação de Klein & Furtak:

$$\left\{ \begin{array}{l} \frac{S'(\rho)}{S'(0)} = \left[ \frac{J_1(2\pi\rho\tilde{r}_0)}{2\pi\rho\tilde{r}_0} \right]^2 \left[ \frac{D'}{R'_0} \right]^2 \simeq \left[ \frac{J_1(2\pi\rho\tilde{r}_0)}{2\pi\rho\tilde{r}_0} \right]^2 \\ \rho = \frac{r'}{\lambda R'_0} \end{array} \right.$$

Bessel (1o. tipo, 1a. ordem):  $J_1(u) = 0 \Rightarrow u = 3.83171$ .

$$\left\{ \begin{array}{l} 2\pi\rho\tilde{r}_0 = 3.83171 \\ D' = 20 \text{ mm} \\ \tilde{r}_0 = 4 \text{ mm} \\ \lambda_0 = 510 \text{ nm} \\ n = 1.33 \\ \rho = \frac{r'}{\lambda R'_0} \end{array} \right\} \left\{ \begin{array}{l} \rho = 1.52459 \times 10^2 \text{ m} \\ \lambda = 383.5 \text{ nm} \\ r' = 1.17 \mu\text{m} \end{array} \right.$$



Diametro de Airy:  $2r'$ . Se bem me recorde, a distância entre células recetoras na fava (zona de maior densidade; onde os olhos estão constantemente a focar), é apenas ligeiramente menor que o tamanho de Airy (melhor relação dispendio de energia/benefício, do ponto de vista evolutivo).

b)

$$\begin{cases} \tan \theta = \frac{r'}{D''} \\ r' = 1.17 \mu\text{m} \\ D'' = 22 \text{ mm} \end{cases}$$

$$\theta = 3.05 \times 10^{-3} \text{ rad} = 53.1 \text{ mrad}$$

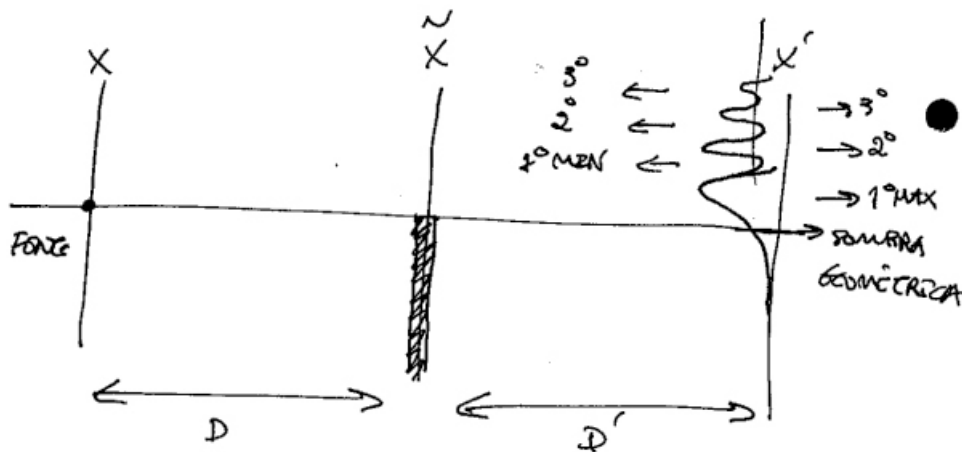
5. Considere difração de Fresnel, por um plano horizontal, da radiação de uma fonte pontual.

a) Faça um esquema da situação física, indicando a localização da fonte, obstáculo, plano de observação e sombra geométrica. Assinale de forma qualitativa apenas a localização dos 1os. 3 máximos e mínimos. (1 V)

b) Use a espiral de Cornu para estimar a intensidade relativa dos 3 1os. máximos. (2.5 V)

### Soluções

**NOTA:** Inspirado em problema 11, pág. 501, Klein & Furtak, Optics, 2nd.Ed., Wiley, 1986 (livro adotado).



$$1) \frac{S'(P)}{S_N(P)} = \frac{|I_x|^2 |I_y|^2}{4} \xrightarrow{1D} \boxed{\frac{S'(P)}{S_N(P)} = \frac{|I_x|^2}{2}}$$

apenas elástica  
@ x

$$\left\{ \begin{array}{l} X'_0 = \frac{D+D'}{D} X'_0 \leftarrow X_0 = 0 \\ F = \left[ \frac{X'_0(D+D')}{2D} \right]^{1/2} \\ \eta_x = \frac{X'_0 - X'}{F} \text{ para cada } X' \end{array} \right.$$

$$I_x = \int_{-\infty}^{\infty} Z_x(\eta_x) e^{-\frac{i\pi}{2} \eta_x^2} d\eta_x = \int_{\eta_1}^{\eta_2} e^{-\frac{i\pi}{2} \eta_x^2} d\eta_x = I(\eta_2) - I(\eta_1)$$

$$\boxed{I(\eta) = \int_0^{\eta} e^{-\frac{i\pi}{2} \eta^2} d\eta}$$

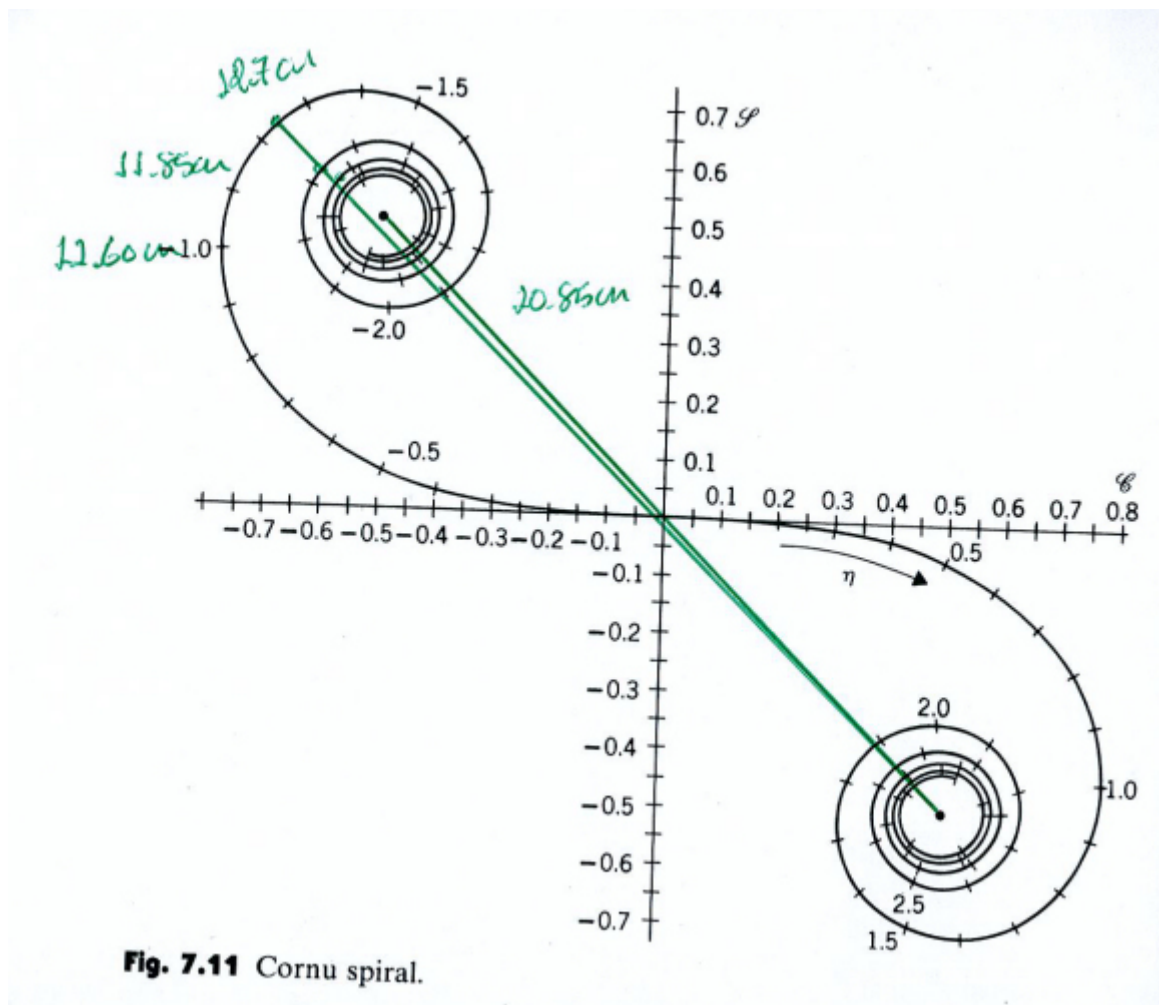
$$I(\eta) = G(\eta) + i J(\eta)$$

∴

$$\begin{array}{l} \tilde{X} \rightarrow \tilde{X}_{02} = +\infty \\ \quad \rightarrow \tilde{X}_{03} = 0 \end{array} \quad \eta_x = \frac{X'_0 - X'}{F} \rightarrow \begin{array}{l} \nearrow \eta_{x2} = +\infty \\ \searrow \eta_{x3} = -\frac{X'}{F} \end{array}$$

Max	A	B
#1	1.37	1
2	1.19	0.9331
3	1.14	0.9134





**Fig. 7.11** Cornu spiral.